

تولید فازهای پلی‌کلونال حاوی قطعات ژنی آنتی‌بادی اختصاصی باکتری *Xanthomonas citri* subsp. *citri* با استفاده از فن‌آوری نمایش فاژی

حمیده رئیسی^۱، محمدرضا صفرنژاد^۲✉، سید مهدی علوی^۳، سید علی الهی‌نیا^۴ و ناصر فرخی^۵

۱ و ۴- دانش آموخته دکتری و استاد، بخش گیاهپزشکی، دانشکده علوم کشاورزی، دانشگاه گیلان، رشت؛ ۲- دانشیار پژوهش، بخش ویروس شناسی گیاهی، موسسه تحقیقات گیاه پزشکی کشور، سازمان تحقیقات آموزش و ترویج کشاورزی، تهران؛ ۳- استادیار پژوهش، بخش بیوتکنولوژی گیاهی، پژوهشگاه ملی مهندسی ژنتیک و زیست فن‌آوری، تهران؛ ۵- دانشیار، گروه بیولوژی سلولی و مولکولی، دانشکده علوم زیستی و بیوتکنولوژی، دانشگاه شهید بهشتی، تهران
(تاریخ دریافت: آبان ۱۳۹۶؛ تاریخ پذیرش: آذر ۱۳۹۶)

چکیده

شانکر باکتریایی مرکبات از بیماری‌های باغات لیمو در جنوب کشور با عامل *Xanthomonas citri* subsp. *citri* می‌باشد. تکنیک فاژنمایی از راهکارهای تولید آنتی‌بادی‌های اختصاصی به منظور شناسایی گیاهان آلوده و همچنین تولید گیاهان مقاوم به بیماری است. در این تحقیق قابلیت استفاده از این سیستم برای تولید فازهای نوترکیب حاوی قطعات آنتی‌بادی اختصاصی بر علیه باکتری عامل بیماری شانکر مرکبات بررسی شد. برای این منظور، پروتئین تاثیرکننده (pthA) و پیلوس (HrpE) که از اجزای اساسی سیستم ترشحی نوع سه باکتری هستند و نقش ضروری در بیماری‌زایی پاتوژن دارند، به عنوان آنتی‌ژن انتخاب شدند. ابتدا پروتئین‌های pthA و HrpE به صورت نوترکیب در میزبان باکتریایی تولید شدند و با روش کروماتوگرافی خالص گردیدند. از کتابخانه‌های فاژی حاوی قطعات ژنی نواحی متغیر آنتی‌بادی برای جداسازی فازهای اختصاصی استفاده شد. غنی‌سازی جمعیت فازهای اختصاصی با انجام سه مرحله غربالگری بر علیه پروتئین‌های خالص شده pthA و HrpE انجام شد و اختصاصیت فازهای حاصله بر علیه آنتی‌ژن توسط آزمون الیزا بررسی شد. فازهای نوترکیب قابلیت اتصال به پروتئین‌های pthA و HrpE را داشته و قادر به ردیابی گیاهان آلوده به بیماری شانکر باکتریایی مرکبات نیز بودند. از فازهای جداسازی شده می‌توان به منظور تولید آنتی‌بادی اختصاصی مونوکلونال استفاده نمود.
واژه‌های کلیدی: افکتور پروتئین pthA، پروتئین HrpE، شانکر باکتریایی مرکبات، غربالگری، نمایش فاژی.

Production of polyclonal phages harbouring antibody fragment genes against *Xanthomonas citri* subsp. *citri* using phage display technology

H. Raeisi¹, M. R. Safarnejad²✉, S. M. Alavi³, S. A. Elahinia⁴ and N. Farokhi⁵

1 and 4. PhD student and Professor, Department of Plant Protection, College of Agricultural Sciences, Guilan University, Rasht;

2- Associate Professor, Department of Plant Viruses, Iranian Research Institute of Plant Protection, Agricultural Research, Education and Extension Organization (AREEO), Tehran, Iran; 3- Assistant Professor, Department of Plant Biotechnology,

National Institute of Genetic Engineering and Biotechnology, Tehran; 5- Associate Professor, Department of Cell & Molecular Biology, Faculty of Life Sciences & Biotechnology, Shahid Beheshti University, Tehran, Iran

Abstract

Citrus bacterial canker, caused by *Xanthomonas citri* subsp. *citri* (Xcc), is amongst the important diseases of lime orchards in southern parts of Iran. Phage display has been used to produce specific antibodies for detection of pathogen-infected plants as well as development of resistant varieties. An effector, namely pthA and a pilus protein, HrpE, the major critical components of type III secretion (T3S) system with roles in pathogenesis, were chosen as antigens. Recombinant forms of the proteins (pthA and HrpE) were expressed in a bacterial host and purified via affinity chromatography. Tomlinson phage display libraries including single chain variable fragments were used for isolation of the specific antibodies. Biopanning, 3 rounds against pthA and HrpE proteins, allowed enriching antigen-specific phages. The specificity of phages was tested using ELISA. Moreover, the phages were able to detect the plants infected with citrus bacterial canker.

Key words: Biopanning, citrus bacterial canker, effector protein pthA, HrpE protein, phage display.

مقدمه

ایران به دلیل شرایط جغرافیایی مناسب مقام هفتم تولید مرکبات را دارد (Ebrahimi, 2009). بیماری شانکر مرکبات، از جمله مهم ترین بیماری های است که اولین بار توسط Alizadeh and Rahimian (1990) در کهنوج دیده شد. باکتری عامل بیماری شانکر مرکبات *Xanthomonas citri* subsp. *citri* می باشد (Schaad et al., 2006). این بیمارگر باعث آسیب به میوه ها، شاخه ها و برگ های گیاه شده و در صورت تشدید بیماری خشک شدن گیاه از نوک شاخه به سمت ریشه اتفاق می افتد (Duan et al., 1999; Pruvost et al., 2002; Gottwald et al., 2002; Jalan et al., 2013). سویه های این باکتری از نظر دامنه میزبانی متنوع هستند. ولی در دهه اخیر دو گروه با دامنه میزبانی محدود کشف شده اند که به عنوان A^* و A^w نامگذاری شده اند (Sun et al., 2004; Verniere et al., 1998). فرم آسیایی (A^*) این بیماری در ایران و روی میوه لیموترش گزارش شده است (Mostofizadeh-Ghalamfarsa and Rahimian., 1996) که منجر به افت بازارپسندی محصول علاوه بر افت عملکرد می گردد.

از جمله سازوکارهای بیماری زایی این باکتری می توان به سیستم ترشچی نوع سه اشاره نمود. نقص در سیستم ترشچی نوع سوم منجر به از دست رفتن توان بیماری زایی باکتری می شود (Cornelis and Van Gijsegem, 2000). بخش خارج سلولی سیستم ترشچی نوع سوم باکتری های پاتوژن گیاهی پیلوس Hrp است. در پاتوژن گیاهی این پیلوس به صورت نازک و طویل تکامل یافته است تا قادر به نفوذ در دیواره سلولی منفذدار گیاه شود (Koebnik, 2005). از طریق پیلوس، پروتئین های تاثیرکننده (Effector proteins) که نقش در بیماری زایی بیمارگر دارند، مانند پروتئین pthA وارد سلول میزبان می شوند. برای ایجاد علائم شانکر باکتریایی روی مرکبات وجود ژن pthA ضروری است (Swarup et al., 1992). انتقال این ژن به سایر زانتومونادها، توانایی القاء شانکرهای ناهنجار روی مرکبات و القاء واکنش فوق حساسیت (HR) در

سایر میزبان ها را به آنها می بخشد (Fujikawa et al., 2006; Jalan et al., 2013; Swarup et al., 1992).

در میان راهبردهای مورد استفاده در جهت مدیریت بیماری، تولید رقم مقاوم موثرترین روش پیش گیری بیماری می باشد. یک روش برای ایجاد گیاهان مقاوم در برابر عوامل بیماری زای، بیان آنتی بادی یا قطعات آنتی بادی در گیاه و تولید پلانتی بادی ها است که می توانند به اجزای پاتوژن که در بیماری زایی نقش دارند متصل شوند و در نتیجه از ایجاد بیماری جلوگیری شود (Tavladoraki et al., 1993). یکی از روش های تولید آنتی بادی، تکنیک نمایش فاز است. نمایش فازی در واقع تکنیک قدرتمندی جهت گزینش از میان میلیون ها پروتئین یا پپتید می باشد (Rakonjac et al., 2011). به عنوان یکی از کاربردهای موفقیت آمیز سیستم نمایش فازی می توان به استفاده از آن در جداسازی آنتی بادی های مونوکلونال تحت عنوان آنتی بادی نوترکیب تک زنجیره ای متشکل از قطعات متغییر (scFv) از کتابخانه های بزرگ آنتی بادی های متصل به فاز اشاره کرد (Hoogenboom and Chames, 2000; Weisser and Hall, 2009). یکی از فازهای مناسب مورد استفاده در سیستم نمایش فازی، فاز M13 می باشد. کتابخانه scFv معمولاً بر اساس scFv متصل به PIII پروتئین پوششی فاز رشته ای M13 ساخته می شوند و در نهایت قطعه scfv همراه با این پروتئین در سطح فاز ظاهر می گردد (Sheets et al., 1998; Vaughan et al., 1996).

با توجه به نقش سیستم ترشچی سه در بیماری زایی بیمارگر، این تحقیق با هدف استفاده از پروتئین نوترکیب pthA و HrpE به عنوان آنتی ژن جهت تولید آنتی بادی نوترکیب علیه اجزای سیستم ترشچی سه طراحی شد.

روش بررسی

سویه های باکتری و سازه های بیانی: کتابخانه فازی Tomlinson I&J (Source BioScience. UK) که حاوی قطعات ژنی نواحی متغیر آنتی بادی است، برای جداسازی فازهای

سپس جداسازی و خالص‌سازی پروتئین نوترکیب با روش کروماتوگرافی و با استفاده از ستون رزین نیکل سفارز (Ni^{2+}) انجام شد (Shahryari *et al.*, 2013a). تایید بیان و خالص‌سازی پروتئین توسط ژل پلی‌اکریل آمید ۱۲ درصد (SDS-PAGE) انجام شد (Ausubel *et al.*, 1995).

تکثیر فاز کمکی M13k017: به منظور تکثیر کتابخانه فاژی Tomlinson I&J از فاز کمکی (Helper phage)، M13k017 استفاده گردید. برای تکثیر فاز کمکی M13k017 از سویه TG1 باکتری *E. coli* استفاده شد. ابتدا فاز کمکی به پنج میلی‌لیتر از کشت تازه باکتری در جذب نوری ۰/۴ در $\text{OD}_{600\text{nm}}$ اضافه و به مدت دو ساعت در ۳۷ درجه سلیسیوس تکان داده شد. سپس باکتری رسوب داده شده و در ۵۰۰ میلی‌لیتر محیط جدید حاوی کانامیسین با غلظت ۵۰ میکروگرم در میلی‌لیتر حل گردیده و به صورت شبانه در شیکر ۱۵۰ دور در دقیقه در دمای ۳۰ درجه سلیسیوس نگهداری گردید. با انجام سانتریفیوژ سلول‌های باکتری حذف و از محلول روشن‌ترین برای جداسازی فاز استفاده شد. خالص‌سازی فاز کمکی با روش مبتنی بر استفاده از PEG6000 انجام شد (Clackson *et al.*, 1991).

تکثیر کتابخانه فاژی و تهیه فاز: برای این منظور یک میلی‌لیتر از کتابخانه مورد نظر به ۲۰۰ میلی‌لیتر محیط کشت 2YT حاوی ۱۰۰ میکروگرم در میلی‌لیتر آمپی‌سیلین و گلوکز یک درصد اضافه شد و پس از رسیدن به جذب نوری ۰/۴ در $\text{OD}_{600\text{nm}}$ فاز کمکی با غلظت 2×10^{11} به آن اضافه و به مدت ۳۰ دقیقه در ۳۷ درجه سلیسیوس به حالت سکون قرار گرفت. محیط حاصل در دور ۳۰۰۰ به مدت ده دقیقه سانتریفیوژ شده و ته‌نشین حاصله به ۱۰۰ میلی‌لیتر محیط تازه حاوی ۱۰۰ میکروگرم آمپی‌سیلین در میلی‌لیتر، ۵۰ میکروگرم در میلی‌لیتر کانامیسین و گلوکز یک درصد منتقل و به مدت ۱۶ ساعت در دمای ۳۰ درجه سلیسیوس و با دور ۲۵۰ دور در دقیقه قرار گرفت. سپس، کشت شبانه باکتری در $330 \times \text{g}$ به مدت ۱۵ دقیقه سانتریفیوژ و به ۸۰ میلی‌لیتر از روشن‌ترین

اختصاصی مورد استفاده قرار گرفت. باکتری مورد استفاده در تحقیق حاضر جهت تکثیر کتابخانه فاژی، *Escherichia coli* سویه TG1 بود. در این تحقیق به منظور بیان ژن *pthA* از سازه بیانی pET28a-*pthA* که در تحقیقات قبلی تهیه شده بود استفاده گردید (Mokhtari *et al.*, 2015). سازه pET28a-*pthA* حاوی قسمت انتهایی ژن تولید کننده افکتور پروتئین *pthA* است، که شامل ۶۰۶ جفت باز بوده و برای بیماری‌زایی پاتوژن ضروری است. سازه بیانی pET28a-HrpE به منظور تولید زیر واحدهای تشکیل پیلوس (HrpE) استفاده شد. این سازه حاوی ژن کد کننده پیلوس می‌باشد که در انتقال مستقیم افکتورهای بیمارگر به داخل سلول میزبان نقش دارد. پلاسمید pET28a(+) حاوی توالی شش‌تایی هیستیدین در قسمت N-ترمینال قطعه ژنی *pthA* و HrpE می‌باشند که با توجه به میل ترکیبی توالی شش‌تایی هیستیدین به ستون رزین نیکل سفارز شرایط تخلیص را بسیار تسهیل می‌نماید. سویه Rosetta باکتری *E. coli* به منظور تولید پروتئین‌های نوترکیب استفاده شد.

تولید پروتئین نوترکیب: به منظور تولید پروتئین

نوترکیب، کلنی‌های نوترکیب سویه Rosetta حاوی سازه‌های بیانی pET28a-*pthA* و pET28a-HrpE به صورت شبانه در محیط کشت LB مایع حاوی آنتی‌بیوتیک کانامیسین (۵۰ میکروگرم در میلی‌لیتر) کشت داده شدند. پس از انجام کشت شبانه، تجدید کشت به نسبت ۱:۱۰۰ در ۵۰۰ میلی‌لیتر محیط کشت مایع حاوی آنتی‌بیوتیک کانامیسین (۵۰ میکروگرم در میلی‌لیتر) صورت گرفته و در دمای ۲۸ درجه سانتی‌گراد در شیکر ۱۵۰ دور در دقیقه نگهداری گردید. پس از ورود فاز رشدی باکتری به مرحله لگاریتمی (میزان جذب نوری محیط کشت در ۶۰۰ نانومتر به ۰/۵ برسد) تحریک سلول‌های باکتری جهت تولید پروتئین نوترکیب با افزودن IPTG^۱ در غلظت نهایی یک میلی‌مولار صورت گرفت. کشت باکتری به مدت یک شب در دمای ۲۸ درجه سانتی‌گراد ادامه یافته و

۱-Isopropyl β -D-1-thiogalactopyranoside

(OD₆₀₀) منتقل و به مدت ۳۰ دقیقه در دمای ۳۷ درجه سلیسیوس جهت ایجاد آلودگی قرار گرفت. پس از گذشت زمان ذکر شده محلول باکتریای در ۷۰۰۰ دور در دقیقه به مدت پنج دقیقه سانتریفیوژ شد و رسوب در ۸۰۰ میکرولیتر از محیط کشت مایع حل شد و روی محیط کشت جامد حاوی گلوکز ۱٪ و آمپی‌سیلین با غلظت ۱۰۰ میکروگرم در میلی لیتر کشت و ۱۶ ساعت در ۳۷ درجه سلیسیوس قرار گرفت. کلنی‌های رشد کرده روی محیط کشت، جمع آوری و جهت تکثیر فازهای منتقل شده به باکتری استفاده شدند (Krebber *et al.*, 1997). از فاز تکثیر شده در این مرحله در دور بعدی غربالگری استفاده شد (Barbas *et al.*, 2001). با تکرار فرایند غربالگری فازهایی که به طور غیر اختصاصی به ایمونوتیوپ متصل شده بودند حذف گردیدند و فازهای با اختصاصیت اتصال بالا باقی ماندند. پس از هر دور غربالگری، مرحله تیتراسیون جهت تخمین تعداد فازهای حاصله انجام شد (Ausubel *et al.*, 1995).

بررسی اختصاصیت فازهای نو ترکیب: جهت بررسی

اختصاصیت فازهای جداسازی شده از آزمون الیزا غیر مستقیم (PTA-ELISA) استفاده شد. برای این منظور ابتدا بشقابک الیزای ۹۶ چاهکی با آنتی‌ژن نو ترکیب با غلظت ۵۰ میکروگرم در میلی‌لیتر پوشش داده شد. سپس، پلیت الیزا به مدت یک شب در چهار درجه سلیسیوس قرار گرفت. در ادامه پلیت الیزا با بافر PBS سه بار شستشو شد و سپس چاهک‌ها با شیر خشک بدون چربی ۲٪ به مدت دو ساعت پوشش داده شدند و مجدداً شستشوی چاهک‌ها با PBS انجام شد. پس از شستشو، در هر چاهک ۱۰۰ میکرولیتر از غلظت ۱۰^{-۱} از فازهای حاصل از هر دور غربالگری کتابخانه فاژی، ریخته شد و به مدت یک ساعت در دمای محیط قرار گرفت. سپس پلیت الیزا سه بار با PBS حاوی توئین ۰/۱ شسته و چاهک‌ها با آنتی‌بادی anti-M13 متصل به HRP (Abcam, UK) به غلظت ۱:۵۰۰۰ پوشش داده شدند و به مدت یک ساعت در دمای اتاق قرار گرفتند. در مرحله بعد مجدداً چاهک‌ها با PBS

۲۰ میلی‌لیتر PEG/NaCl (۲۰٪ polyethylene glycol 6000, 2.5M NaCl) اضافه شد و در ۳۳۰۰xg به مدت ۱۵ دقیقه سانتریفیوژ شد. رسوب حاصل که حاوی فازهای جداسازی شده است، در PBS (NaCl 137mM, KCl 2.7mM, Na₂HPO₄ 1.8mM, KH₂PO₄ 1.5mM) با pH ۷/۲ حل و سانتریفیوژ با دور ۱۱۶۰۰xg به مدت ۱۰ دقیقه انجام شد. روشن‌ترین حاوی فازها جداسازی و برای کوتاه مدت در ۴ درجه سلیسیوس نگهداری شد (Barbas *et al.*, 2001).

غربالگری کتابخانه فاژی (بیوپینگ): پس از اطمینان از

وجود جمعیت مورد نظر (۱۰^{۱۳}) در کتابخانه فاژی، فرایند غربالگری فاز نو ترکیب با استفاده از پروتئین نو ترکیب انجام شد. برای انجام این کار ایمونوتیوپ (Nunc Inc, Denmark) به مدت ۱۶ ساعت با پروتئین نو ترکیب با غلظت ۵۰ μg/ml پوشش داده شد و بعد از سه بار شستشو با PBS، فضاهای خالی ایمونوتیوپ توسط شیر خشک بدون چربی ۲٪ (تهیه شده در PBS) طی دو ساعت در دمای ۳۷ درجه سلیسیوس پوشش داده شد. پس از گذشت زمان مورد نظر، شستشو ایمونوتیوپ سه بار با PBS انجام شد. کتابخانه فاژی Tomlinson I&J با غلظت نهایی ۱۰^{۱۳} کلنی در هر میلی‌لیتر (cfu/ml) آماده و به ایمونوتیوپ اضافه شد. پس از گذشت دو ساعت، ۲۰ مرتبه ایمونوتیوپ به ترتیب با بافرهای PBS و PBS حاوی توئین ۰/۱ درصد (TWEEN 20) شستشو داده شد. در ادامه از محلول ۱۰۰ میلی مولار تری‌اتیل‌آمین در ایمونوتیوپ استفاده شد و به مدت ده دقیقه تکان داده شد و پس از گذشت زمان مورد نظر حذف شد. سپس ۷۰۰ میکرولیتر از محلول تریس یک میلی مولار به ایمونوتیوپ اضافه شد. بلافاصله محلول تریس اضافه شده به ایمونوتیوپ جمع‌آوری و به تیوپ استریل منتقل شد. محلول تریس جداسازی شده از ایمونوتیوپ حاوی فازهای متصل شده به پروتئین نو ترکیب استفاده شده در ایمونوتیوپ بود. برای تکثیر فاز جداسازی شده، ۵۰۰ میکرولیتر از فاز به ۱۲ میلی‌لیتر از سویه باکتری TG1 *E. coli* با جمعیت ۰/۴ در جذب نوری

نوترکیب با کارایی بالاتر نسبت به سایر سویه‌های بیانی است. از جمله مزایایی این سیستم بیانی می‌توان به میزان بالای بیان پروتئین نوترکیب، قدرت بالا جهت پذیرش ژن‌های بیگانه و همچنین بهبود عملکرد پروتئین اشاره نمود (Fu et al., 2007; Rosano and Ceccarelli, 2014). همچنین پروتئین بیان شده در سویه Rosetta نسبت به سایر سویه‌های بیانی مانند سویه BL21 دارای خلوص بیشتری است (Tegel et al., 2010).

خالص سازی پروتئین نوترکیب بر روی ستون حاوی یون نیکل صورت پذیرفت و نتایج حاصله حاکی از خلوص مناسب پروتئین‌های نوترکیب می‌باشد. غلظت پروتئین‌های نوترکیب حاصله با روش مقایسه با پروتئین استاندارد در حدود ۲۰۰ میکروگرم در میلی‌لیتر تخمین زده شد.

از پروتئین‌های نوترکیب خالص HrpE و pthA، به صورت جداگانه به عنوان آنتی‌ژن جهت جداسازی فازهای اختصاصی از کتابخانه فاژی استفاده شد.

تهیه، تکثیر و غربالگری کتابخانه فاژی: کتابخانه‌های فاژی حاوی قطعات ژنی نواحی متغیر آنتی‌بادی به صورت متداول برای تولید آنتی‌بادی اختصاصی نوترکیب علیه انواع مختلف آنتی‌ژن‌ها استفاده می‌شود. در این کتابخانه، فاز نوترکیب حاوی قطعه آنتی‌بادی نوترکیب متصل به پروتئین پوششی فاز بوده که همراه با پروتئین پوششی در سطح فاز ظاهر می‌شود (شکل ۱).

جهت تکثیر کتابخانه فاژی از سویه TGI باکتری *E. coli* استفاده شد و پس از تکثیر، جداسازی و خالص‌سازی فاز انجام شد. جمعیت فاز در تمام مراحل غربالگری 10^{13} کلنی در هر میلی‌لیتر در نظر گرفته شد. غربالگری فازهای متصل به پروتئین نوترکیب طی سه دور انجام شد و فاز خالص شده از هر دور برای دور بعدی غربالگری مورد استفاده قرار گرفت. جهت بررسی صحت مراحل غربالگری پس از هر دور غربالگری، جمعیت فاز به دست آمده با استفاده از روش تیتراسیون مورد ارزیابی قرار گرفت (جدول ۱).

حاوی توئین ۰/۱ شستشو و در نهایت سوستر ABTS^۲ (Fermentase, Lithuania) به هر چاهک اضافه شد و پلیت به مدت ۳۰ دقیقه در شرایط تاریکی قرار گرفت. جذب نوری چاهک‌ها در طول موج ۴۰۵ نانومتر اندازه‌گیری و ثبت شد.

توانایی فازهای نوترکیب در ردیابی گیاهان آلوده به

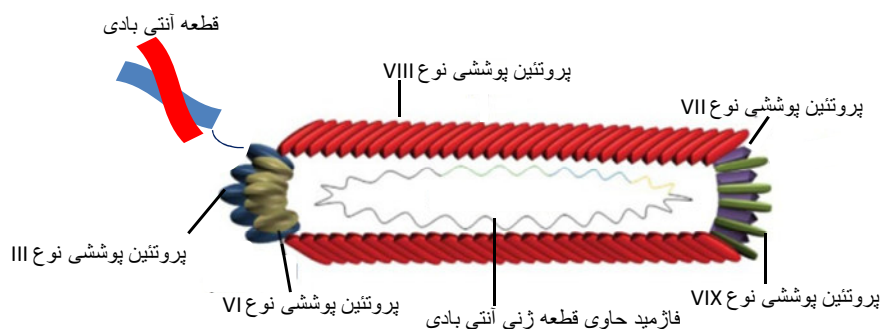
بیماری شانکر مرکبات: فازهای جداسازی شده از مراحل مختلف غربالگری کتابخانه فاژی (بیوپینینگ) جهت سنجش واکنش با گیاه سالم و آلوده در آزمون الیزای غیر مستقیم PTA-ELISA استفاده شدند. به این صورت که ابتدا چاهک‌های پلیت الیزا به طور مستقیم با عصاره گیاه سالم لیموترش و گیاه لیموترش آلوده به باکتری XCC سویه ۸۸ (*Xanthomonas citri* subsp *citri*) (تهیه شده از پژوهشگاه ملی مهندسی ژنتیک و زیست فناوری) پوشش داده شد و پلیت به مدت ۱۶ ساعت در چهار درجه سلیسیوس قرار گرفت. پس از شستشو، در هر چاهک غلظت 10^{-1} از فازهای حاصل از هر دور غربالگری کتابخانه فاژی، ریخته شد و به مدت یک ساعت در دمای محیط قرار گرفت و با استفاده از آنتی‌بادی anti-M13 متصل به HRP و در حضور سوستر ABTS جذب نوری چاهک‌ها در ۴۰۵ نانومتر اندازه‌گیری شد.

پس از انجام تجزیه واریانس داده‌ها، مقایسه میانگین با استفاده از آزمون دانکن در سطح ۹۵٪ ($P \leq 0.05$) انجام شد. داده‌ها با استفاده از نرم افزار SAS مورد تجزیه و تحلیل آماری قرار گرفتند.

نتیجه و بحث

تولید پروتئین نوترکیب: در این تحقیق جهت تولید پروتئین نوترکیب از سازه‌های pET28a- pthA و pET28a-HrpE استفاده شد. بیان ژن در سازه‌های مورد نظر در سویه Rosetta باکتری *E. coli* صورت پذیرفت. این سویه دارای tRNA های برای کدون‌های نادر بوده که باعث بیان انواع پروتئین‌ها در باکتری می‌شود و در نتیجه دارای توانایی تولید پروتئین

۲- 2,2'-azino-bis (3-ethylbenzothiazoline-6-sulphonic acid) (ABTS)



شکل ۱- فاز نوترکیب حاوی قطعه آنتی بادی نوترکیب متصل به انتهای N-ترمینال پروتئین پوششی نوع III؛ (Kierny *et al.*, 2012)

Fig. 1. recombinant phage contains recombinant antibody fragment fused to the N-terminus of coat protein III; (Kierny *et al.*, 2012)

جدول ۱- جمعیت فازهای به دست آمده از کتابخانه I* پس از انجام مراحل بیوپنینگ بر علیه آنتی ژن های PTHA و HRPE

Table 1. Titers of phage libraries I eluted after biopanning processes against pthA and hrpE

Output phage	Input phage	Panning rounds	Phage display library (Tomlinson I)
2.4×10^4	10^{13}	1	pthA
3.8×10^5	10^{13}	2	
7.4×10^6	10^{13}	3	
2.6×10^4	10^{13}	1	HrpE
4×10^5	10^{13}	2	
7.9×10^6	10^{13}	3	

افزایش یافت و میزان جذب در آزمون الیزا در دور سوم غربالگری بالاتر از دو دور قبلی بود. این بدین معناست که فازهای حاصله به خوبی قادر به اتصال با پروتئین نوترکیب هستند (شکل ۲ و شکل ۳). با توجه به شکل ۲ در مراحل غربالگری، آنتی بادی های با تمایل بالا نسبت آنتی ژن HrpE از میان مجموعه وسیعی از آنتی بادی ها انتخاب و تکثیر شدند. روند افزایشی مشاهده شده در دور سوم نشان دهنده افزایش اختصاصیت جمعیت فازهای جداسازی شده می باشد. در اینجا از BSA و پروتئین PthA به عنوان کنترل منفی استفاده شد. نتایج نشان می دهد فازهای جداسازی شده میل ترکیبی پایینی با BSA و پروتئین pthA دارند، که این موضوع نیز اختصاصیت فازها در اتصال به پروتئین HrpE را تایید می کند (شکل ۲).

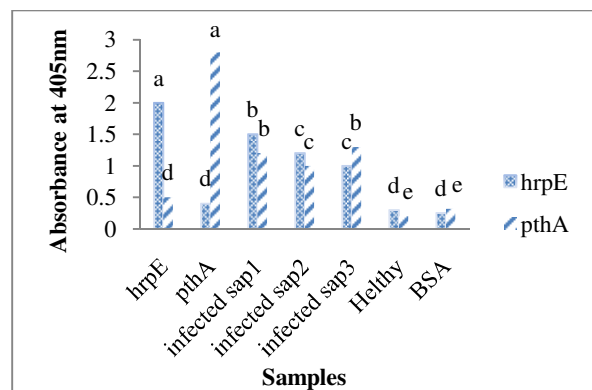
افزایش جمعیت فازهای اختصاصی متصل شده به پروتئین نوترکیب پس از هر دور غربالگری موید انجام تکثیر و افزایش تعداد کلون های اختصاصی مثبت متصل شونده به آنتی ژن و صحت اجرای مراحل غربالگری می باشد. این تکنیک بسیار سریع و کارآمد است و به طور معمول با استفاده از آنتی ژن هدف که بر روی ایمونوتیوب پوشش داده شده است، به راحتی و در مدت زمان کم می توان آنتی بادی اختصاصی را بدست آورد (Coomber, 2002).

بررسی اختصاصیت فازهای نوترکیب: اختصاصی بودن اتصال فازهای حاصل از دور اول تا سوم غربالگری به پروتئین نوترکیب توسط آزمون الیزا مورد ارزیابی قرار گرفت. نتایج نشان داد که پس از هر دور غربالگری اختصاصیت فازها

بررسی مراحل مختلف غربالگری برای ارزیابی توان اتصال آنتی‌ژن pthA به فازهای جداسازی شده از کتابخانه فاژی نیز، نشان دهنده روند افزایشی جمعیت فاژ در هر دور غربالگری بود. روند افزایشی جمعیت فاژ در هر دور غربالگری و میل ترکیبی پایین فازهای جداسازی شده در اتصال به BSA و پروتئین HrpE، نیز اختصاصیت فازها در اتصال به پروتئین pthA را تایید کرد (شکل ۳).

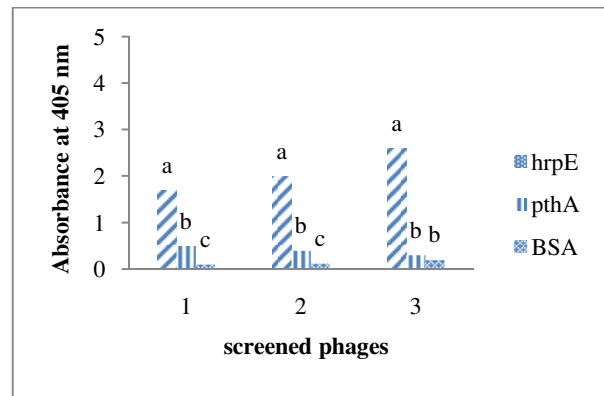
توانایی فازهایی نو ترکیب در ردیابی گیاهان آلوده به

بیماری شانکر مرکبات: جهت بررسی توانایی فازهای حاصل برای تشخیص گیاهان آلوده آزمون الیزا به روش PTA-ELISA انجام شد. جهت انجام این آزمون از فازهای که قابلیت اتصال بالا با آنتی‌ژن HrpE و pthA را داشتند، به طور جدا گانه استفاده شدند و توانایی فازهای جداسازی شده بر ضد HrpE و pthA در ردیابی مستقیم گیاهان آلوده سنجیده شد. نتایج به دست آمده نشان داد که فازهای اختصاصی جدا شده بر ضد هر دو پروتئین HrpE و pthA به خوبی قادر به ردیابی نمونه‌های آلوده گیاهی می‌باشند و ضریب جذب نوری چاهک‌های حاوی عصاره گیاهی آلوده نسبت به کنترل منفی دارای اختلاف معنی‌دار می‌باشد (شکل ۴).



شکل ۴- بررسی فازهای پلی کلونال حاوی قطعات آنتی‌بادی اختصاصی جهت شناسایی گیاهان آلوده به روش PTA-ELISA. حروف متفاوت نشان دهنده تفاوت معنی‌دار بین نمونه‌ها می‌باشد ($P < 0.05$).

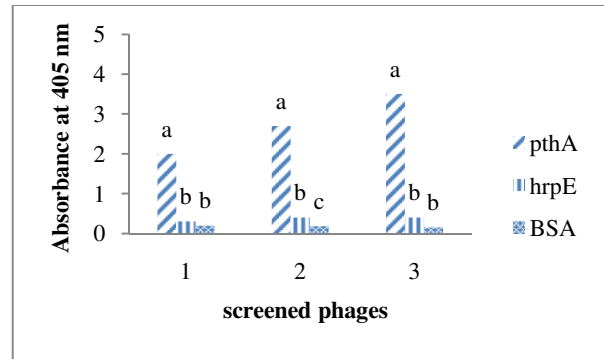
Fig. 4. Specificity of selected polyclonal phages for detection of infected plants by PTA-ELISA. Different letters indicate significant differences between samples ($P < 0.05$).



شکل ۲- مقایسه ضریب جذب نوری در ۴۰۵ نانومتر فازهای

حاصل از بیوپنینگ کتابخانه Tomlinson I بر ضد پروتئین نو ترکیب HrpE. محور افقی شامل فازهای حاصل از دور اول (۱)، دوم (۲) و سوم (۳). BSA (سرم آلبومین گاوی) و pthA به عنوان کنترل منفی استفاده شدند. حروف متفاوت نشان دهنده تفاوت معنی‌دار بین نمونه‌ها می‌باشد ($P < 0.05$).

Fig. 2. Comparison of optical density in 405 nm from phages obtained in biopanning processes of Tomlinson I against HrpE. x axis: phages from the 1st, 2nd and 3rd rounds of biopanning. BSA and pthA protein used as a negative control. Different letters indicate significant differences between samples ($P < 0.05$).



شکل ۳- مقایسه ضریب جذب نوری در ۴۰۵ نانومتر فازهای

حاصل از بیوپنینگ کتابخانه Tomlinson I&J بر ضد پروتئین نو ترکیب PthA. محور افقی شامل فازهای حاصل از دور اول (۱)، دوم (۲) و سوم (۳). BSA (سرم آلبومین گاوی) و HrpE به عنوان کنترل منفی استفاده شدند. حروف متفاوت نشان دهنده تفاوت معنی‌دار بین نمونه‌ها می‌باشد ($P < 0.05$).

Fig. 3. Comparison of optical density in 405 nm from phages obtained in biopanning processes of Tomlinson I against pthA. The horizontal axis contains the phages from the 1st, 2nd and 3rd round of biopanning. BSA and HrpE protein used as a negative control. Different letters indicate significant differences between samples ($P < 0.05$).

ردیابی پروتئین نوترکیب دارند می‌توان از این فاژها برای تولید آنتی‌بادی مونوکلونال علیه پروتئین‌های مرتبط با سیستم ترشحی نوع سوم باکتری استفاده کرد و با انتقال ژن کد کننده آنتی‌بادی به سلول گیاه و بیان در سلول‌های گیاهی از ایجاد پیشرفت بیماری جلوگیری کرد (Shahryari *et al.*, 2013b; Fischer *et al.*, 2001). همچنین می‌توان با اتصال قطعات آنتی‌بادی به پروتئین‌های موثر در بیماریزایی پاتوژن‌ها، باعث غیر فعال کردن عوامل بیماریزا در گیاهان شد. اثربخشی این استراتژی مرتبط با میل ترکیبی آنتی‌بادی با پروتئین هدف است (Huang *et al.*, 2011; Le Gall *et al.*, 1998). از آنجایی که تکنولوژی نمایش فاژی دارای قدرت غربالگری و آنالیز قوی می‌باشد، جایگزین روش‌های دیگری مانند تکنولوژی هیبریدوما برای تولید آنتی‌بادی مونوکلونال شده است (Schirrmann *et al.*, 2011; Hu *et al.*, 2012).

References

- ALIZADEH, A. and H. RAHIMIAN, 1990. Citrus canker in Kerman province. Iran Journal. Plant Pathology, 26: 42. (in persian with english summary)
- AUSUBEL, F., R. BRENT, R. KINGSTONE, D. MOORE, J. G. SEIDMAN, J. A. SMITH and K. STRUHL, 1995. Current Protocols in Molecular Biology. 4648 Pp. New York, Wiley Interscience.
- BARBAS, C. F., D. R. BURTON, J. K. SCOTT and G. J. SILVERMAN, 2001. Phage Display: A Laboratory Manual. CSH Laboratory Press, Cold Spring Harbor, NY.
- BERRY, J. D. 2005. Rational monoclonal antibody development to emerging pathogens, biothreat agents and agents of foreign animal disease: The antigen scale. The Veterinary Journal, 170: 193–211.
- CLACKSON, T., H. R. HOOGENBOOM, A. D. GRIFFITHS and G. WINTER, 1991. Making antibody fragments using phage display libraries. Nature, 352 (6336): 624-628.
- COLETTA-FILHO, H. D., M. A. TAKITA, A. A. SOUZA,

در دهه‌های گذشته، گزارش‌های مختلفی از شناسایی و ردیابی گونه‌های مختلف *Xanthomonas sp.* به وسیله روش‌های سرولوژیک و یا روش‌های مبتنی بر PCR صورت گرفته است (Fang and Ramasamy, 2015). استفاده از روش‌های مختلف PCR بر اساس قطعات مختلف از ژنوم باکتری (Gottwald *et al.*, 2001; Coletta-Filho *et al.*, 2006; Rigano *et al.*, 2010) و همچنین توسعه روش Real-time-PCR به ردیابی سریع پاتوژن در گیاه آلوده کمک می‌کند. این روش‌ها با وجود حساسیت بسیار و دقت بالا، نیازمند تجهیزات آزمایشگاهی می‌باشند و قابل استفاده در همه شرایط آزمایشگاه‌ها نمی‌باشند (Cubero and Graham, 2005; Mavrodieva *et al.*, 2004). در میان روش‌های شناسایی سرولوژیک، تکنیک الیزا از روش‌های معمول برای ردیابی پاتوژن در گیاهان است. این روش قابل اعتماد و کارآمد بوده و بر پایه کاربرد آنتی‌بادی‌های اختصاصی در تشخیص پاتوژن می‌باشد (Fang and Ramasamy, 2015). جهت تولید آنتی‌بادی‌های اختصاصی می‌توان از تکنیک نمایش فاژی استفاده نمود. با استفاده از سیستم نمایش فاژی می‌توان آنتی‌بادی‌هایی با تمایل بالا نسبت به آنتی‌ژن مورد نظر را از میان مجموعه وسیعی از آنتی‌بادی‌ها انتخاب و تکثیر کرد. آنتی‌بادی‌های scFv دارای مزیت‌هایی می‌باشند. از جمله، غلبه بر مشکل تفکیک VH و VL که اغلب در قطعات Fv با آن مواجه می‌شویم. با استفاده از آنتی‌بادی‌های scFv امکان تهیه ملکول‌های فعال ایمونولوژیک با اندازه کوچک به میزان فراوان و با خلوص بالا و هزینه کم فراهم می‌شود که به آسانی از نظر ژنتیکی قابل دستکاری می‌باشد (Safarnejad *et al.*, 2011). در کتابخانه‌های آنتی‌بادی‌های نوترکیب امکان بیان کتابخانه‌های اختصاصی برای انواع آنتی‌ژن وجود دارد. همچنین می‌توان کتابخانه‌های نوترکیب را به شکل cDNA نگهداری کرد و در آینده مجدداً آن را غربال نمود و در تهیه آنتی‌بادی‌های مونوکلونال از آن استفاده نمود (Berry, 2005). با توجه به توانایی بالای که فاژهای جدا شده در اتصال و

- J. R. NETO, S. A. DESTEFANO, J. S. HARTUNG and M. A. MACHADO, 2006. Primers based on the rpf gene region provide improved detection of *Xanthomonas axonopodis* pv. *citri* in naturally and artificially infected citrus plants. *Journal Application Microbiology*, 100:279-285.
- CORNELIS, G. R. and F. VAN GIJSEGEM, 2000. Assembly and function of type III secretory systems. *Annual Review of Microbiology*, 54: 735-774.
- COOMBER, D. W. J. 2002. Panning of Antibody Phage-Display Libraries. In: O'Brien, P.M., R. Aitken, (eds) *Antibody Phage Display. Methods in Molecular Biology*, 178:133-45.
- CUBERO, J. and J. H. GRAHAM, 2005. Quantitative real-time polymerase chain reaction for bacterial enumeration and allelic discrimination to differentiate xanthomonas strains on citrus. *Phytopathology*, 95:1333-1340.
- DUAN, Y. P., A. L. CASTANEDA, G. ZHAO, G. ERDOS, and D. W. GABRIEL, 1999. Expression of a single, host-specific, bacterial pathogenicity gene in plant cells elicits division, enlargement and cell death. *Molecular. Plant Microbe Interaction*, 12: 556 – 560
- EBRAHIMI, Y. 2009. Citrus situation in Iran. Ministry of Jihad e Agriculture. pP39, (In Farsi)
- FANG, Y. and R. P. RAMASAMY, 2015. Current and prospective methods for plant disease detection. *Biosensors*, 4: 537–561.
- FISCHER, R., N. EMANS and S. SCHILLBERG, 2001. Achieving plant disease resistance by antibody expression. *Canadian Journal Plant Pathology*, 23: 236–45.
- FU, W., J. LIN and P. CEN, 2007. 5-Aminolevulinic acid production with recombinant *Escherichia coli* using a rare codon optimizer host strain. *Applied Microbiology and Biotechnology*, 75:777-782.
- FUJIKAWA, T., H. ISHIHARA, J. E., LEACH and S. TSUYUMU, 2006. Suppression of defense response in plants by the *avrBs3/PthA* gene family of *Xanthomonas* spp. *Molecular. Plant Microbe Interaction*. 19: 342–349.
- GOTTWALD, T. R., G. HUGHES, J. H. GRAHAM, X. SUN and T. RILEY, 2001. The citrus canker epidemic in Florida: the scientific basis of regulatory eradication policy for an invasive species. *Phytopathology*, 91:30-34.
- GOTTWALD, T. R., J. H. GRAHAM and T. S. SCHUBERT, 2002. Citrus Canker: The pathogen and its impact. *Plant Health Progress*, DOI:10.1094/PHP-2002-0812-01-RV.
- HOOGENBOOM, H. R. and P. CHAMES, 2000. Natural and designer binding sites made by phage display technology. *Immunology Today*, 21: 371–378.
- HU, Z. Q., J. L. LIU, H. P. LI, S. XING, S. XUE, J. B. ZHANG, J. H. WANG, G. NOLKE and Y. C. LIAO, 2012. Generation of a highly reactive chicken-derived single-chain variable fragment against *Fusarium verticillioides* by phage display. *International Journal of Molecular Sciences*, 13(6): 7038–7056.
- HUANG, J., B. RU and P. DAI, 2011. Bioinformatics resources and tools for phage display. *Molecules*, 16: 694–709.
- JALAN, N., D. KUMAR, M. O. ANDRADE, F. YU, J. B. JONES, J. H. GRAHAM, F. F. WHITE, J. C. SETUBAL and N. WANG, 2013. Comparative genomic and transcriptome analyses of pathotypes of *Xanthomonas citri* subsp. *citri* provide insights into mechanisms of bacterial virulence and host range. *BMC Genomics*, 14:551.
- KIERNY, R. M., T. D CUNNINGHAM and B. K. KAY, 2012. Detection of Biomarkers Using Recombinant Antibodies Coupled to Nanostructured Platforms. *Nano Reviews*, 3: 17240.
- KOEBNIK, R. 2005. The type III-dependent Hrp pilus is required for productive interaction of *Xanthomonas campestris* pv. *vesicatoria* with pepper host plants. *Journal of Bacteriology*, 187: 24587
- KREBBER, A., S. BORNHAUSER, J. BURMESTER, A. HONEGGER, J. WILLUDA, H. R. BOSSHARD, 1997. Reliable cloning of functional antibody variable domains from hybridomas and spleen cell repertoires employing a reengineered phage display system. *Journal of Immunological Methods*, 201: 35-55.
- LE GALL, F., J. M. BOVE and M. GARNIER, 1998.

- Engineering of a single-chain variable-fragment (scfv) antibody specific for the stolbur phytoplasma (mollicute) and its expression in *Escherichia coli* and tobacco plants. *applied and environmental microbiology*, 64: 4566–72.
- MAVRODIEVA, V., L. LEVY and D. W. GABRIEL, 2004: Improved sampling methods for realtime polymerase chain reaction diagnosis of citrus canker from field samples. *Phytopathology*, 94:61-68.
- MOKHTARI, M., M. R. SAFARNEJAD, S. M. ALAVI and A. TORKAMANZEHI, 2015. Isolation, gene expression and PthA effector protein production of *Xanthomonas citri* subsp *citri* causal agent of citrus bacterial canker. *Journal of Agricultural Biotechnology*, 7(2): 155-170. (In persian with english summary)
- MOSTOFIZADEH-GHALAMFARSA, R. and H. RAHIMIAN, 1996. Incidence of the Asiatic form of citrus canker in Iran. *Iranian Journal of Plant Pathology*, 32: 189 (short report).
- PRUVOST, O., B. BOHER, C. BROCHERIEUX, M. NICOLE and F. CHIROLEU, 2002. Survival of *Xanthomonas axonopodis* pv. *citri* in leaf lesions under tropical environmental conditions and simulated splash dispersal of inoculums. *Phytopathology*, 92: 336–346.
- RAKONJAC, J., N. J. BENNETT, J. SPAGNUOLO, D. GAGIC and M. RUSSEL, 2011. Filamentous bacteriophage: biology, phage display and nanotechnology applications. *Current Issues in Molecular Biology*, 13: 51–57.
- RIGANO, L. A., M. R. MARANO, A. P. CASTAGNARO, A. M. D. AMARAL and A. A. VOJNOV, 2010. Rapid and sensitive detection of citrus bacterial canker by loop-mediated isothermal amplification combined with simple visual evaluation methods. *BMC Microbiology*, 10: 176.
- ROSANO, G. L. and E. A. CECCARELLI, 2014. Recombinant protein expression in *Escherichia coli*: advances and challenges. *Frontiers in Microbiology*, 5: 172.
- SAFARNEJAD, M. R., G. R. SALEHI JOUZANI, M. TABATABAIE, R. M. TWYMAN and S. SCHILLBERG, 2011. Antibody-mediated resistance against plant pathogens. *Biotechnology Advances*, 29 (6): 961–971.
- SCHAAD, N. W., E. POSTNIKOVA, G. LACY, A. SECHLER, I. AGARKOVA, P. E. STORMBERG, V. K. STORMBERG and A. K. VIDAVER, 2006. Emended classification of Xanthomonad pathogens on citrus. *Systematic and Applied Microbiology*, 29: 690–695.
- SCHIRRMANN, T., T. MEYER, M. SCHUTTE, A. FRENZEL and M. HUST, 2011. Phage display for the generation of antibodies for proteome research, diagnostics and therapy. *Molecules*, 16: 412-426.
- SHAHRYARI, F., M. SHAMS-BAKHS, M. R. SAFARNEJAD, N. SAFAIEE and S. ATAIE KACHOIEE, 2013a. Preparation of polyclonal antibody against Immunodominant membrane protein (IMP) of *Candidatus Phytoplasma aurantifolia*. *Iranian Journal of Biotechnology*, 11: 14-21.
- SHAHRYARI, F., M. R. SAFARNEJAD, M. SHAMS-BAKHS, G. NOLKE and S. SCHILLBERG, 2013b. Generation and expression on plants of a single-chain variable fragment antibody against the immunodominant membrane protein of *Candidatus Phytoplasma aurantifolia*. *Journal of Microbiology and Biotechnology*, 23(8): 1047-1054.
- SHEETS, M. D., P. AMERSDORFER, R. FINNERN, P. SARGENT, E. LINDQUIST, R. SCHIER, G. HEMINGSEN, C. WONG, J. C. GERHART, J. D. MARKS and E. LINDQUIST, 1998. Efficient construction of a large nonimmune phage antibody library: the production of high-affinity human single-chain antibodies to protein antigens. *Proceedings of the National Academy of Science*, 95: 6157-6162.
- SWARUP, S., Y. YANG, M. T. KINGSLEY and D. W. GABRIEL, 1992. An *Xanthomonas citri* pathogenicity gene, PthA, pleiotropically encodes gratuitous avirulence on nonhosts. *Molecular Plant Microbe Interaction*, 5: 204–213.
- SUN, X., R. E. STALL, J. B. JONES, J. CUBERO, T. R. GOTTWALD, J. H. GRAHAM, W. N. DIXON, T. S. SCHUBERT, P. H. CHALOUX, V. K. STROMBERG,

- G. H. LACY and B. D. SUTTON, 2004. Detection and characterization of a new strain of citrus canker bacteria from Key/Mexican lime and alemow in South Florida. *Plant Diseases*, 88: 1179–1188.
- TAVLADORAKI, P., E. BENVENUTO, S. TRINCA, D. DE MARTINIS, A. CATTANEO and P. GALEFFI, 1993. Transgenic plants expressing a functional single-chain Fv antibody are specifically protected from virus attack. *Nature*, 366: 469–72.
- TEGEL, H., S. TOURLE, J. OTTOSSON and A. PERSSON, 2010. Increased levels of recombinant human proteins with the *Escherichia coli* strain Rosetta (DE3). *Protein Expression and Purification*, 69:159-167.
- WEISSER, N. E. and J. C. HALL, 2009. Applications of single-chain variable fragment antibodies in therapeutics and diagnostics. *Biotechnology Advances*, 27: 502-20
- VAUGHAN, T. J., A. J. WILLIAMS, K. PRITCHARD, J. K. OSBOURN, A. R. POPE, J. C. EARNSHAW, J. MCCAFFERTY, R. A. HODITS, J. WILTON and K. S. JOHNSON, 1996. Human antibodies with sub-nanomolar affinities isolated from a large non-immunized phage display library. *Nature Biotechnology*, 14: 309-314.
- VERNIERE, C., J. S. HARTUNG, O. P. PRUVOST, E. L. CIVEROLO, A. M. ALVAREZ, P. MAESTRI and J. LUISETTI, 1998. Characterization of phenotypically distinct strains of *Xanthomonas axonopodis* pv. *citri* from Southwest Asia. *European Journal of Plant Pathology*, 104: 477–487.

